

和歌山工業高等専門学校 正員 小池一臣
同 上 正員 国中光

[1] まえがき

せきがらの流量のみに着目するのであれば、わざりにくい支配断面は必ずしも必要ではない。前報ではせきより十分離れた上下2断面を解析断面として選べば容易に流量計算ができることを示すのが目的であつたので、そ、3の問題点を含んでいた。本報告はそのうちのせき板に作用する水圧計算に関して修正を行なつたものである。

[2] 流量計算の概要

水平長方形水路に設けられた鉛直な全幅刃形せきを考えるが、解析はせき上流側の流速が一樣と考えられる断面と下流側のナシ γ' のほぼ平行断面を対象とし、この間でのエネルギー・ロスや摩擦力は無視する。連続の式： $(H + h_a)\sqrt{2g}h_a = \frac{1}{3} \cdot \cos \theta \cdot \sqrt{2g} \{(ZE)^{3/2} - (ZE - R)^{3/2}\}$ — (1)、比力の式(水平方向)： $\frac{1}{2} \cdot (H + h_a)^2 + Z \times (H + h_a)h_a = \cos^2 \theta \{4ER - R^2\} + P/w$ — (2) なお、エネルギーの式は $V = \sqrt{2g(ZE - Z)}$ であり、(1)、(2)のいづれの式にも考慮されている。(2)式の Z がせき板に作用する全水圧であり(後で述べる)、 R と h_a に関して(1)、(2)の連立方程式を解いて $\gamma = (H + h_a)\sqrt{2g}h_a$ を求める。

[3] せき板に働く力

前の報告では等流速線の長さを定めるにあたって、上う(水面)では低下背水を無視するとともに下方(水路底付近)ではせき板までの長さをとつてていたため、水路底付近では水平方向の流れが等流速線部に移行するのに矛盾が生じていた。この矛盾を解消するため最外部の等流速線長を常流水深 Z と同長にとり、死水領域を設けることにより修正した。その結果、水平方向の流速と等しい流速で等流速線部に流入することが可能となった。図-2に

おいて、 \overline{QC} は半径 r の円弧であり、その中心は $E/2$ となる。 \overline{CD} は鉛直で \overline{DD}' は水面の低下を示す。 $\overline{QC} = r \times \alpha$ であるから $Z : (h_a + E/2 - Z) = \alpha / \cos(\pi/2 - \alpha)$; $r = (h_a + E/2 - Z) / \cos(\pi/2 - \alpha)$ したがつて、 $\overline{QC} = (h_a + E/2 - Z) \cdot \alpha / \cos(\pi/2 - \alpha)$ 、ここで $\alpha = \phi / \cos(\pi/2 - \alpha)$ — (3) とおくと $\overline{QC} = (h_a + E/2 - Z) \cdot \phi$ となる。水面の降下高 \overline{DD}' は等流速線上の流速 V の速度水頭である。次に等流速線長 \overline{CD} の長さを求める。 $GCD = \overline{QC} - \overline{DD}' = \overline{QC} + E/2 - \overline{DD}' = r\alpha + E/2 - V^2/2gZ$ となるが、又 $\alpha = r\phi$ 、 $GCD = Z$ である。次に $GCD = Z$ とおきこれを求める。連続の式より $V = \gamma / GCD = \gamma / Z$ であるから、 $Z = (h_a + E/2 - Z) \cdot \phi + E/2 - V^2/2gZ$ 、 $\therefore Z \cdot \phi = (h_a + E/2) \cdot \phi + E/2 - Z - V^2/2gZ^2$ 、ここでさうに $m = (h_a + E/2) \cdot \phi + E/2$ — (4) とおくと、 $Z \cdot \phi = m - Z - V^2/2gZ^2$ となる。 $\therefore Z = (m - Z - V^2/2gZ^2) / \phi$ または $Z^3 + (Zf - m)Z^2 + V^2/2g = 0$ — (5)

この式はある単位幅当りの流量 f に対して水路底からの高さ Z とその高さの等流速線長 Z との関係を示している。図-3のように最外部の等流速線長を a 、せき頂のそれを b とすると、 $a = R$ — (6) であり、これを(5)式の Z に代入すると、 $Z_a = (m - R - V^2/2gR^2) / f$ となり、 V を仮定すれば Z_a は定まる。つぎに $Z = R$ とおけば $b^3 + (Rf - m)b^2 + V^2/2g = 0$ — (7) となつて b が求まる。ある f に対して a 、 b の長さが求まる

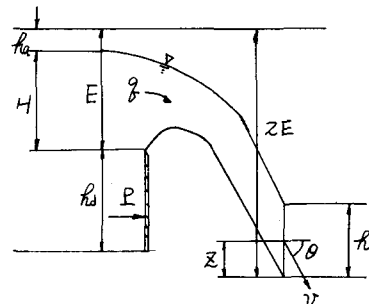
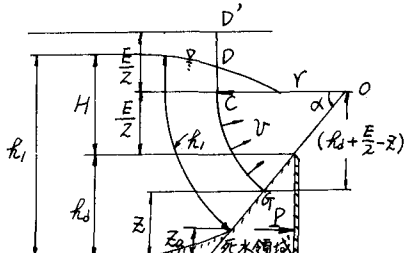


図-1 断面の諸量

図-2 等流速線図(\overline{GCD})

せき板におよぼす力Pを求める作業に入る。ベルヌイの式から

$$R_d + E = R_d + g^2/2gR_d^2 = z + P/w + g^2/2gX^2, \text{ (各 } z \text{, } R_d \text{ は一定), } R_d + E = z + \\ P/w, \text{ (} z < z_a \text{ で } v = 0 \text{ とする) となる。} \therefore P/w = \int_0^{z_a} P/w \cdot dz + \int_{z_a}^R P/w \cdot dz \\ = \left\{ \int_0^{z_a} (R_d + E) dz - \int_{z_a}^R z dz \right\} + \left\{ \int_{z_a}^R (R_d + E) dz - \int_{z_a}^R z dz - \int_{z_a}^R g^2/2gX^2 dz \right\} \\ = \int_0^{z_a} (R_d + E) dz - \int_{z_a}^R z dz - \int_{z_a}^R g^2/2gX^2 dz = (R_d + E) R_d - R_d^2/2 - g^2/2g \int_{z_a}^R z dz$$

$$\text{ここで, } (R_d + E) R_d - R_d^2/2 = (E + R_d)^2/2 - E^2/2 = P/w \quad (8) \text{ とおいて,}$$

$$P/w = P/w - g^2/2g \int_{z_a}^R z^2 dz \text{ となる。} z^2 \text{ の定積分の計算において } z \text{ を } Z \text{ で示すには三次方程式(5)の根を求めなければならぬので, ここでは}$$

元を } z \text{ に変換して } Z \text{ について積分する。すなわち, } \frac{dZ}{dz} = (g^2/2gX^2 - 1)/4 \text{ であり, これを } \int_{z_a}^R z^2 dz \text{ に代入する。} \int_{z_a}^R z^2 dz = \int_{z_a}^R (g^2/2gX^2 - 1)(gX^2) \cdot dZ = -g^2/4g \cdot (1/b^2 - 1/a^2) + 1/3 \cdot (1/b^2 - 1/a^2) \text{ ゆえに, } P/w = P/w - g^2/2g \cdot \{-g^2/4g \cdot (1/b^2 - 1/a^2) + (1/b - 1/a)\} \quad (9) \text{ す}

なわち, せき板に働く力Pは(9)式で求めるものとし, 式中上は式(8)による静水圧, 下は式(3)で示す。

[4]. 流量計算の例

流量は[2]で述べた(1)式, (2)式を基本式として, せき板に働く力Pに関する(9)式を用いて計算されるが, その計算方法は前報で詳細に述べられたのと基本的には同じであるのでここでは省略する。試算によると, 図-1に示される死水領域境界の角度θを 45° ~ 72° の間の値にとると実験値との適合がよいことが推定されたので, ここでは $\theta = 71.50^\circ \approx 1.2479$ とした。なお, 図-1のナッップの傾斜角θは $\tan \theta = 1/4$ としている。表-1はせきの高さ h_d が $1m$ の場合について, 越流水深Hを $0.03m$ ~ $1.00m$ の範囲で変化させたときの流量を計算したので, Rehbock式またはJIS式と比較して示している。ただし, JIS式等に含まれる係数Kは $K = 1.785 + 0.237(H/R_d)$ とし, $0.00295/H$ の項は省略している。表-1によれば, $R_d = 1.0m$ のとき計算値は最大±

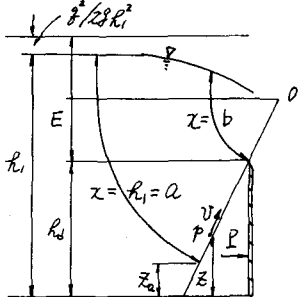


図-3 せき板に働く力

H m	1.0	0.9	0.8	0.7	0.6	0.5	0.4
誤差で実験値(
Rehbock式	2.0494	1.7239	1.4232	1.1472	0.8965	0.6713	0.4728
JIS式	2.0220	1.7062	1.4129	1.1426	0.8957	0.6730	0.4776
(8/g^2 - 1)	+ 0.0136	+ 0.0104	+ 0.0073	+ 0.0041	+ 0.0009	- 0.0025	- 0.0058
H m	0.3	0.2	0.1	0.08	0.06	0.04	0.03
誤差で実験値(
Rehbock式	0.3023	0.1621	0.05646	0.04029	0.02610	0.01417	0.00919
JIS式	0.3050	0.1639	0.05720	0.04092	0.02644	0.01436	0.00931
(8/g^2 - 1)	- 0.0088	- 0.0112	- 0.0129	- 0.0130	- 0.0131	- 0.0130	- 0.0131

と, 今回の上の
修正によ, て計

算流量は改善されたと考えてよいであろう。

[5]. わかりに

以上, 本報告はせきからの越流量の算定に関して, せき板に作用する力について述べたものである。この結果を用いて流量計算を行なうとJIS式との流量差は1%前後とな, たが, JIS式そのものが実験値に対して±1.5%あるのはそれ以上の誤差を有することを考えると, これ以上の計算精度の追求は直接精密なる実験値との照合を行なわなければならぬなりであろう。なお, 今後に残された問題点は越流水のナッップに関する検討とエネルギー損失および縮尺効果に関する要素であろうが, ナッップについては別途にその詳細が報告される予定であるが, エネルギー損失および縮尺効果についてはJIS式との比較で省略した補正項をそのまま本解の流量係数に付加しなくてはならぬ。参考文献 1) 田中: 鋼直刃形せきの越流量の算定, 年次講演会, 昭和56。

表-1 計算流量とJIS流量の比較 ($R_d = 1.0m$ の場合)